

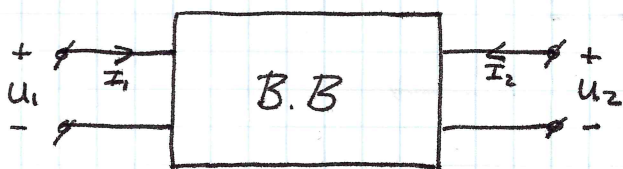
Analoge Systeemtheorie (AST)

①

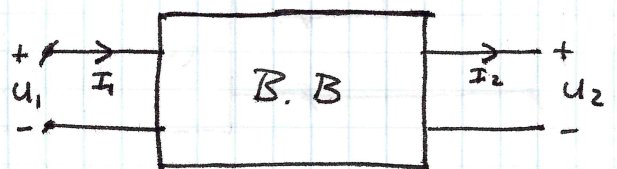
- 1) Vierpooltheorie - niet-reciproke en actieve bouwstenen
 - 2) Filters
 - analoge, actieve en passieve
 - benaderingsmethoden \Rightarrow Butterworth
Chebyshev
Bessel; Cauer
 - realisatie \Rightarrow ladders
diverse actieve realisaties
actieve ladders
 - stabiliteit
 - 3) Ruis
 - bronnen
 - karakteristieke parameters
 \Rightarrow systemen doorrekenen
-

I Vierpolen (Tweeporten)

Veronderstelling: De vierpool is lineair



Tekenconventie I



Tekenconventie II

De vp. is lineair \Rightarrow dus stelsel van twee lineaire DV's die met Laplace o.d. geschreven worden als klassieke lineaire vergelijkingen. Een stelsel matrixparameters wordt gevormd door de coëfficiënten in dit stelsel vngl.
NB: ook andere parameters zijn mogelijk

Aantal matrix-parameterstelsels

$$\binom{4}{2} = \frac{4!}{2!2!} = 6$$

Opsomming van de stelsels

1) U_1 en U_2 expliciet; Conventie I

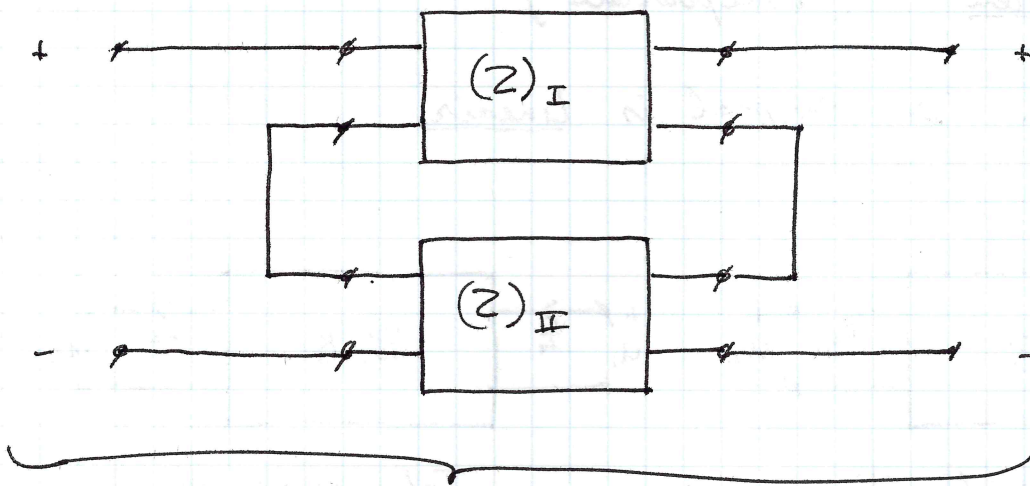
Impedantie - parameters

$$U_1 = Z_{11} I_1 + Z_{12} I_2$$

$$U_2 = Z_{21} I_1 + Z_{22} I_2$$

$$\begin{pmatrix} U_1 \\ U_2 \end{pmatrix} = \underbrace{\begin{pmatrix} Z_{11} & Z_{12} \\ Z_{21} & Z_{22} \end{pmatrix}}_{\rightarrow \text{kort } (Z)} \begin{pmatrix} I_1 \\ I_2 \end{pmatrix}$$

Toepassing: Serieschakeling van vierpolen



$$(Z)_T = (Z)_I + (Z)_{II}$$

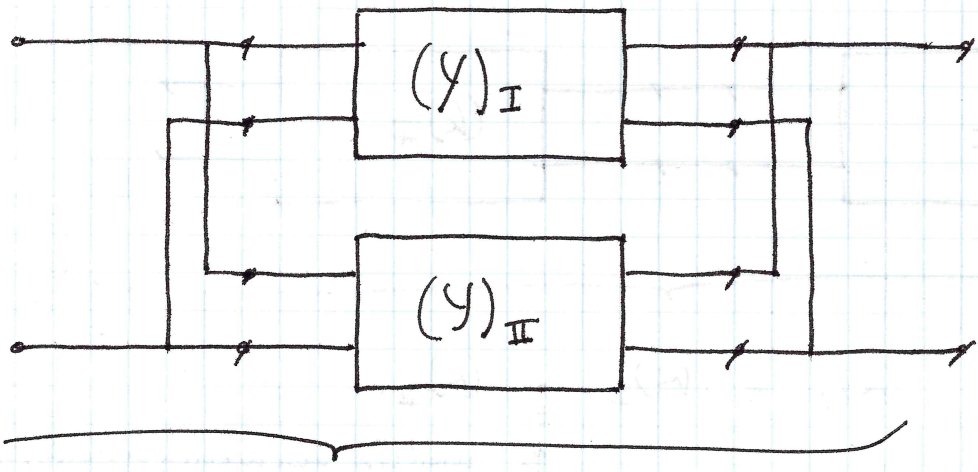
Voor maasvergelijkingen

2) I_1 en I_2 expliciet; Conventie I

$$\begin{pmatrix} I_1 \\ I_2 \end{pmatrix} = \begin{pmatrix} y_{11} & y_{12} \\ y_{21} & y_{22} \end{pmatrix} \begin{pmatrix} u_1 \\ u_2 \end{pmatrix}$$

Admittantie parameters

Toepassing: Parallel schakelen van vierpolen



$$(Y)_T = (Y)_I + (Y)_{II}$$

Voor knooppunt vergelijkingen

3) u_1 en I_2 expliciet; Conventie I

$$\begin{pmatrix} u_1 \\ I_2 \end{pmatrix} = \begin{pmatrix} h_{11} & h_{12} \\ h_{21} & h_{22} \end{pmatrix} \begin{pmatrix} I_1 \\ u_2 \end{pmatrix}$$

I voor 2
daarna
u voor 1

hybride parameters

4) I_1 en u_2 expliciet; Conventie I

$$\begin{pmatrix} I_1 \\ u_2 \end{pmatrix} = \begin{pmatrix} g_{11} & g_{12} \\ g_{21} & g_{22} \end{pmatrix} \begin{pmatrix} u_1 \\ I_2 \end{pmatrix}$$

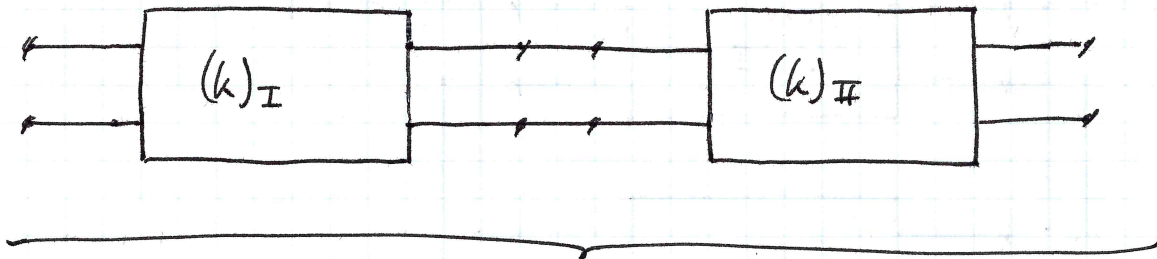
5) U_1 en I_1 expliciet; conventie II

$$\begin{pmatrix} U_1 \\ I_1 \end{pmatrix} = \begin{pmatrix} A_1 & B \\ C & A_2 \end{pmatrix} \begin{pmatrix} U_2 \\ I_2 \end{pmatrix}$$

$\hookrightarrow (K)$

ketting-parameters (a-abc-parameters)

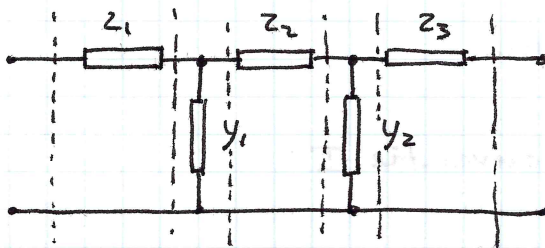
toepassing: cascade-schakelingen



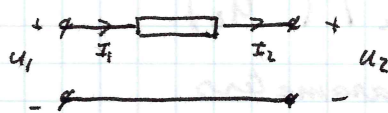
$$(K)_T = (K)_I \cdot (K)_II$$

↕ matrix vermenigvuldiging!

Voorbeeld: doorrekenen Ladder netwerk.



1^e Serie-element



$$I_2 = I_1$$

\Rightarrow

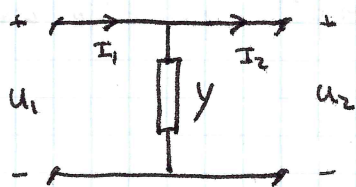
$$I_1 = I_2$$

$$U_2 = U_1 - I_1 Z$$

$$U_1 = U_2 + I_2 Z$$

$$(K)_s = \begin{pmatrix} 1 & Z \\ 0 & 1 \end{pmatrix}$$

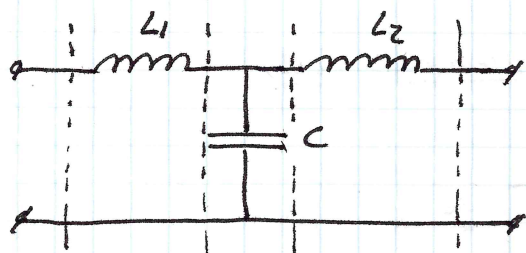
2^e parallel-element



$$\begin{aligned} u_1 &= u_2 \\ I_2 &= I_1 - u_1 y \end{aligned} \Rightarrow \begin{aligned} u_1 &= u_2 \\ I_1 &= I_2 + u_2 y \end{aligned}$$

$$(K)_P = \begin{pmatrix} 1 & 0 \\ y & 1 \end{pmatrix}$$

Neem nu het volgende netwerk



3 secties: 2x serieel
1x parallel

$$(K)_T = (K)_{S,I} \cdot (K)_P \cdot (K)_{S,II}$$

$$\begin{aligned} (K)_T &= \begin{pmatrix} 1 & pL_1 \\ 0 & 1 \end{pmatrix} \cdot \begin{pmatrix} 1 & 0 \\ pC & 1 \end{pmatrix} \cdot \begin{pmatrix} 1 & pL_2 \\ 0 & 1 \end{pmatrix} \\ &= \begin{pmatrix} 1 + p^2 L_1 C & pL_1 \\ pC & 1 \end{pmatrix} \cdot \begin{pmatrix} 1 & pL_2 \\ 0 & 1 \end{pmatrix} \\ &= \begin{pmatrix} 1 + p^2 L_1 C & (1 + p^2 L_1 C) pL_2 + pL_1 \\ pC & 1 + p^2 L_2 C \end{pmatrix} \end{aligned}$$

NB: Als $L_1 = L_2 \Rightarrow A_1 = A_2$ in $(K)_T$
Symmetrie in de vierpool

Onbelast: $A_1 = \frac{u_1}{u_2} = \frac{1}{H(p)}$

$$\frac{u_1}{I_1} = Z_m = \frac{A_1 u_2}{C u_2} = \frac{A_1}{C}$$

Belast:

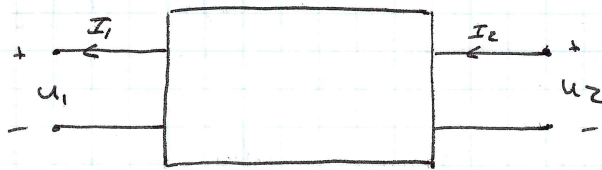
bepaal onbelaste overdracht van filter en die van z:

$$(K)_{T,z} = \begin{pmatrix} 1 & 0 \\ \frac{1}{z} & 1 \end{pmatrix}$$

$$A_1 \cdot [(K)_{T, \text{belast}}] = \frac{1}{H(p)_{\text{belast}}}$$

$$\frac{A_1}{C} \cdot [(K)_{T, \text{belast}}] = Z_{\text{in, belast}}$$

6) u_2 en I_2 expliciet; conventie III!



Tekenconventie III

b-matrix

$$\begin{pmatrix} u_2 \\ I_2 \end{pmatrix} = \begin{pmatrix} b_{11} & b_{12} \\ b_{21} & b_{22} \end{pmatrix} \begin{pmatrix} u_1 \\ I_1 \end{pmatrix}$$

Toepassing: omgekeerde transmissie richting in cascade

Relatie van (b) en (k):

(k) - verg:

$$\left. \begin{aligned} u_1 &= A_1 u_2 + B I_2 \\ I_1 &= C u_2 + A_2 I_2 \end{aligned} \right\} \xrightarrow{\text{conv II} \rightarrow \text{conv III}} \begin{aligned} u_1 &= A_1 u_2 - B I_2 & (1) \\ -I_1 &= C u_2 - A_2 I_2 & (2) \end{aligned}$$

uit (2): $u_2 = -\frac{1}{C} I_1 + \frac{A_2}{C} I_2$ in

$$\begin{aligned} u_1 &= A_1 \left(-\frac{1}{C} I_1 + \frac{A_2}{C} I_2 \right) - B I_2 \\ &= -\frac{A_1}{C} I_1 + \frac{A_1 A_2 - BC}{C} I_2 \end{aligned}$$

$$I_2 = \frac{C}{A_1 A_2 - BC} U_1 + \frac{1}{A_1 A_2 - BC} \cdot I_1$$

$$= \frac{C}{|k|} U_1 + \frac{A_1}{|k|}$$

en: $U_2 = \frac{A_2}{|k|} U_1 + \frac{B}{|k|} \cdot I_1$

Dus:

$$(b) = \frac{1}{|k|} \cdot \begin{pmatrix} A_2 & B \\ C & A_1 \end{pmatrix}$$

Voor symmetrie tussen (b) en (k) geldt nu:

$$|k| = 1 \quad \underline{\text{en}} \quad A_1 = A_2$$

Controle voor onbelaste filter:

$$|k| = 1 + \cancel{p^2 L_1 C} + \cancel{p^2 L_2 C} + \cancel{p^4 L_1 L_2 C^2} +$$

$$- (\cancel{p^2 L_2 C} + \cancel{p^4 L_1 L_2 C^2} + \cancel{p^2 L_1 C}) = \underline{\underline{1}}$$

Gaan we na voor welke klasse vierpolen geldt: $|k| = 1$

Definitie reciproke netwerken:

Indien op een willekeurige plaats in een netwerk een spanningsbron wordt opgenomen en op een andere willekeurige plaats een stroommeter en verwisseling van bron en meter heeft geen invloed op de uitslag van de meter, dan is het netwerk reciproke.

Reciprociteits theorema:

Een netwerk dat uitsluitend is opgebouwd uit R , L , C en Trafo is reciprook.

Telligen bedacht een 5^e passief elementair netwerkelement, de gyrator. Met R , L , C , Trafo en Gy zijn alle denkbare passieve netwerkfuncties te realiseren.

Voor de gyrator geldt:

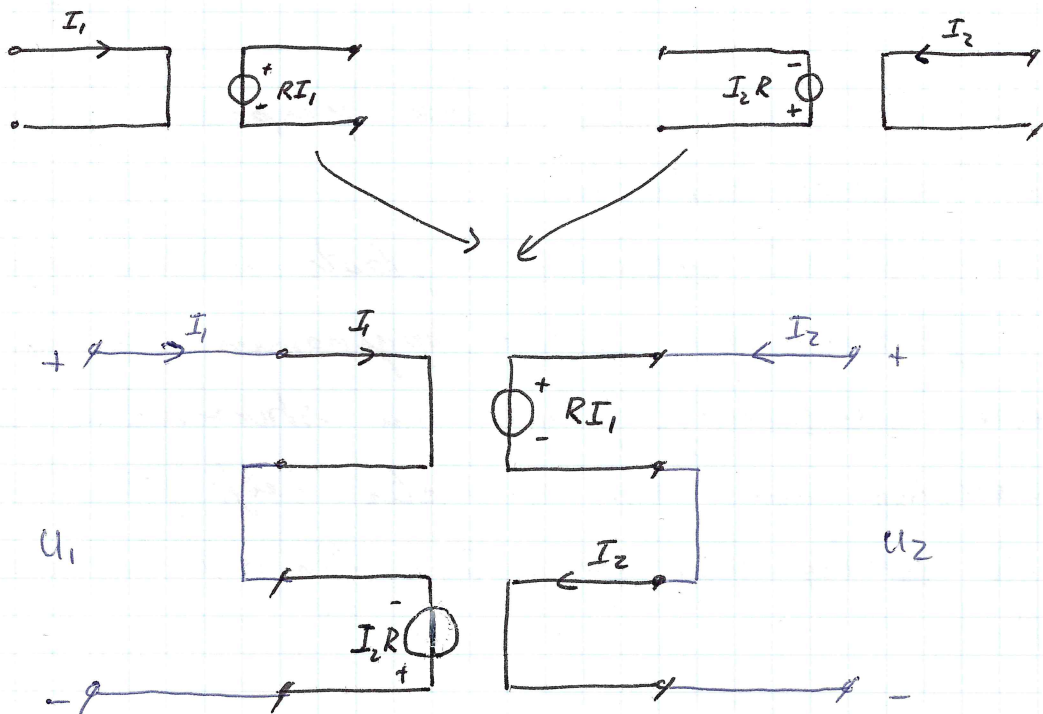
$$(z)_{gy} = \begin{pmatrix} 0 & -R \\ R & 0 \end{pmatrix} \\ = \begin{pmatrix} 0 & 0 \\ R & 0 \end{pmatrix} + \begin{pmatrix} 0 & -R \\ 0 & 0 \end{pmatrix}$$

$$\downarrow \\ u_1 = 0 \\ u_2 = R \cdot I_1$$

$$u_1 = -R I_2 \\ u_2 = 0$$

dit is een gestuurde bron:
C.C.V.S

dit is ook een gestuurde bron:
C.C.V.S.



Bepaal $(k)_{gy}$:

$$\left. \begin{array}{l} U_1 = -R I_2 \\ U_2 = R I_1 \end{array} \right\} \xrightarrow{\text{conv I} \rightarrow \text{conv II}} \left. \begin{array}{l} U_1 = R I_2 \\ U_2 = R I_1 \end{array} \right\} \longrightarrow$$

$$\longrightarrow \begin{array}{l} U_1 = R I_2 \\ I_1 = \frac{1}{R} U_2 \end{array} \longrightarrow \text{Dus } (k)_{gy} = \begin{pmatrix} 0 & R \\ \frac{1}{R} & 0 \end{pmatrix}$$

$|k|_{gy} = -1 \rightarrow$ Dus niet symmetrisch hoewel $A_1 = A_2$

Is de gyrator passief?

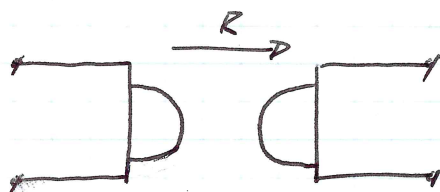
Vierpool is passief als onder alle denkbare omstandigheden de som van de opgenomen vermogens aan beide poorten ≥ 0 is

Hier:

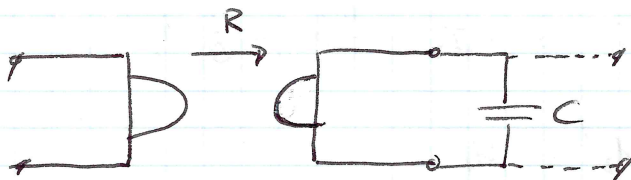
$$\begin{aligned} P_{op, \text{tot}} &= U_1 I_1 - U_2 I_2 \quad (\text{conv. II}) \\ &= R I_2 \cdot \frac{1}{R} U_2 - U_2 I_2 = 0 \end{aligned}$$

Dus: de gyrator is passief

Symbol:



Toepassing:



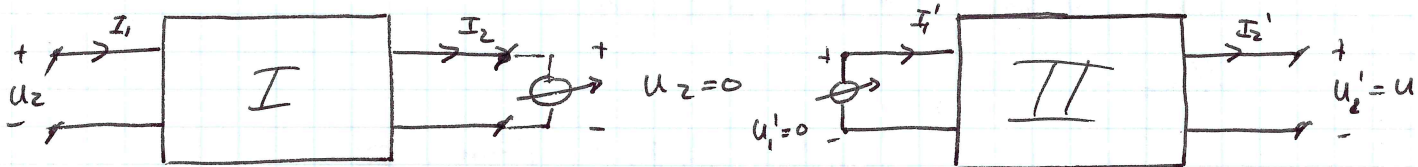
$$(k) = \begin{pmatrix} 0 & R \\ 1/R & 0 \end{pmatrix} \begin{pmatrix} 1 & 0 \\ PC & 1 \end{pmatrix}$$

$$(k) = \begin{pmatrix} PRC & R \\ 1/R & 0 \end{pmatrix}$$

$$Z_{in} = \frac{A_1}{C} = \frac{PRC}{1/R} = pR^2C$$

Dit is zelfinductie te grootte R^2C . Hiermee zijn actieve ladders te realiseren

Bezien we nu eerst reciprociteit van den vierpool.



$$\text{Uit } U_2' = U_1 \text{ volgt: } I_2 = -I_1'$$

$$\text{I } U_1 = A_1 \cdot 0 + B I_2 = B I_2 \quad (1)$$

$$I_1 = C \cdot 0 + A_2 I_2 = A_2 I_2 \quad (2)$$

$$\text{II } 0 = A_1 U_2' + B I_2' \quad (3)$$

$$I_1 = C U_2' + A_2 I_2' \quad (4)$$

$$\text{Uit (3) volgt } I_2' = -\frac{A_1}{B} \cdot U_2' = -\frac{A_1}{B} \cdot U_1$$

$$I_1' = -I_2 \stackrel{(1)}{\rightarrow} -\frac{1}{B} U_1$$

$$U_2' = U_1$$

Deze verg. in (4) invullen

$$-\frac{1}{B} = c + A_2 \left(\frac{-A_1}{B} \right)$$

$$-1 = BC - A_1 A_2$$

$$A_1 A_2 - BC = (k) = \underline{\underline{1}}$$

Bewijs niet geldig als $B = 0$

Uit duale vorm volgt zelfde resultaat, behalve voor $c = 0$.

Conclusie:

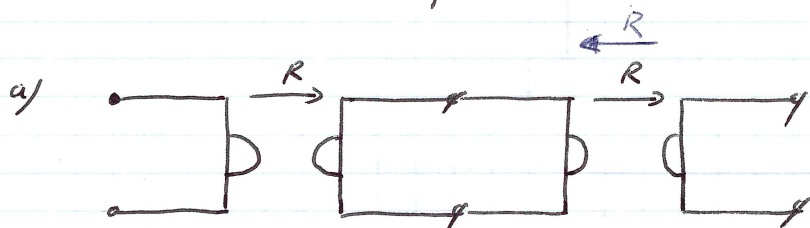
Reciprociteit $\iff (k) = 1$ behalve voor $b = c = 0$

Voor een reciproke vierpool zijn dus slechts 3 params nodig.

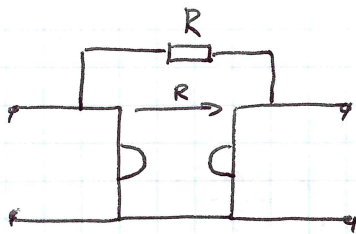
Symmetrie: $(k) = 1$ en $A_1 = A_2$ is dus een bijzonder geval van reciprociteit; hiervoor slechts 2 params nodig.

Bekend: $(k)_{gy} = -1 \leftarrow$ De gyrator is niet reciproke, maar wél passief!

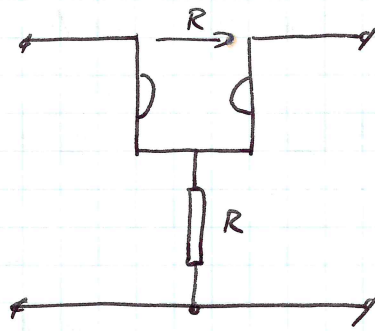
Onderzoek de vierpolen:



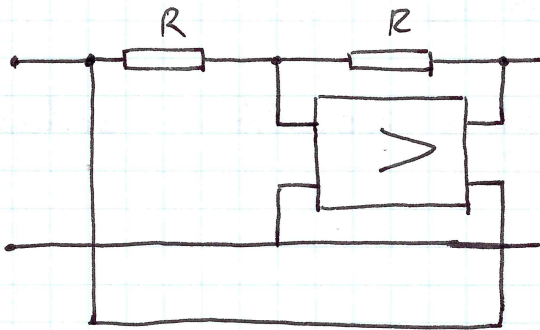
b)



c)

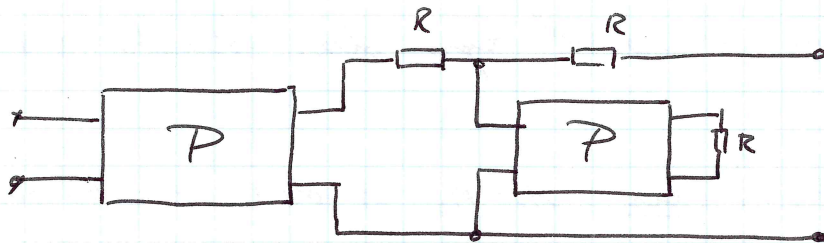


2)

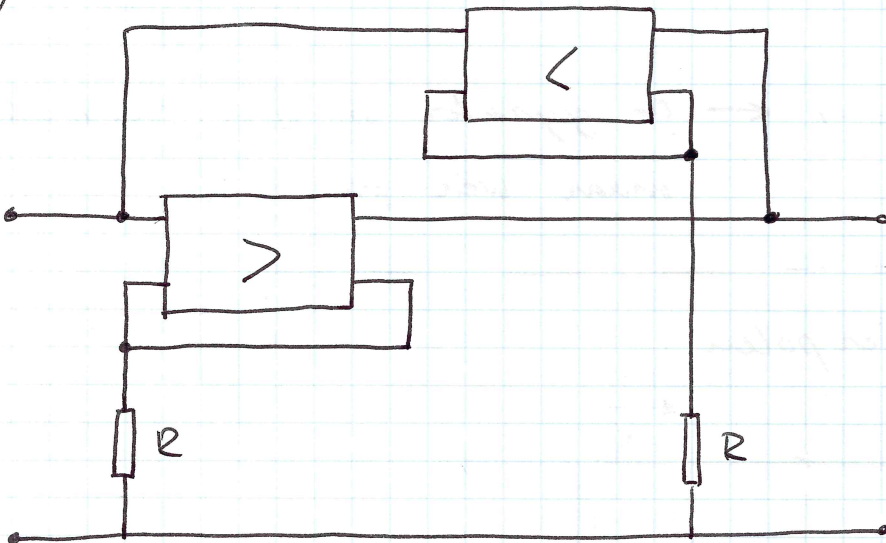


Onderzoek! Noem deze vierpool p.

Onderzoek ook:

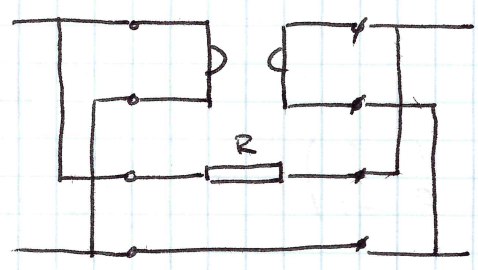
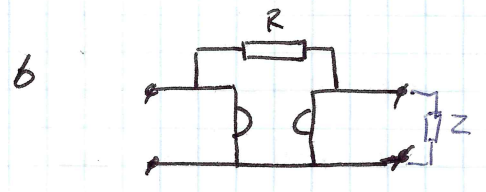


3)





a b) : $h = \begin{pmatrix} 0 & R \\ \frac{1}{R} & 0 \end{pmatrix} \Rightarrow (b) = \frac{1}{-1} \begin{pmatrix} 0 & R \\ \frac{1}{R} & 0 \end{pmatrix} \quad (K)_{\text{K}} = \begin{pmatrix} -1 & 0 \\ 0 & -1 \end{pmatrix}$



$$(y)_g = \begin{pmatrix} 0 & \frac{1}{R} \\ -\frac{1}{R} & 0 \end{pmatrix}$$

$$(y)_{sc} = \begin{pmatrix} \frac{1}{R} & -\frac{1}{R} \\ -\frac{1}{R} & \frac{1}{R} \end{pmatrix}$$

$$(y)_t = (y)_g + (y)_{sc} = \begin{pmatrix} \frac{1}{R} & 0 \\ -\frac{1}{R} & \frac{1}{R} \end{pmatrix}$$

$$J_1 = \frac{1}{R} U_1 \quad -J_2 = -\frac{2}{R} U_1 + \frac{1}{R} U_2$$

\uparrow
conv. vanderen

$$\left. \begin{aligned} U_1 &= \frac{1}{2} U_2 + \frac{R}{2} J_2 \\ I_1 &= \frac{1}{2R} U_2 + \frac{1}{2} I_2 \end{aligned} \right\} \rightarrow (K) \begin{pmatrix} \frac{1}{2} & \frac{R}{2} \\ \frac{1}{2R} & \frac{1}{2} \end{pmatrix} \Rightarrow |K| = 0 \quad \begin{array}{l} \text{niet} \\ \text{reciproke} \end{array}$$

dus (b) bestaat niet

Belasten met Z :

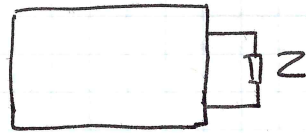
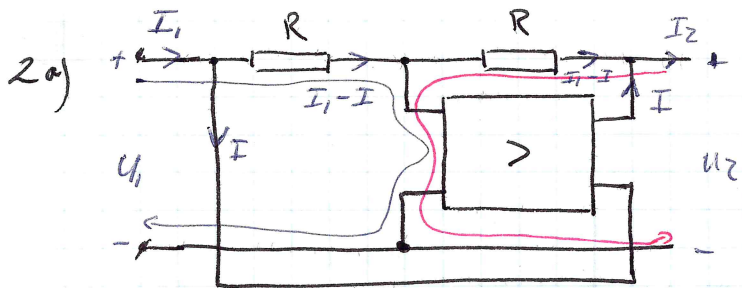
$$\begin{pmatrix} \frac{1}{2} & \frac{R}{2} \\ \frac{1}{2R} & \frac{1}{2} \end{pmatrix} \begin{pmatrix} 1 & 0 \\ \frac{1}{Z} & 1 \end{pmatrix} = \begin{pmatrix} \frac{1}{2} + \frac{R}{2Z} & \frac{R}{2} \\ \frac{1}{2R} + \frac{1}{2Z} & \frac{1}{2} \end{pmatrix}$$

$$Z_{in} = \frac{A_1}{C} = R$$

$$P_{op, prim} = U_1 I_1 = U_1 \cdot \frac{U_1}{R} = \frac{U_1^2}{R} > 0$$

isolator

alleen vermogens-transport mogelijk van primair naar secundair



$$\begin{aligned}
 I_2 &= I_1 \\
 \left. \begin{aligned}
 - u_1 &= (I_1 - I) R \\
 - u_2 &= -(I_1 - I) R
 \end{aligned} \right\} u_1 = -u_2
 \end{aligned}
 \left\{ \begin{aligned}
 (K) & \begin{pmatrix} -1 & 0 \\ 0 & 1 \end{pmatrix} \\
 |K| &= -1, \text{ maar } \underline{b=c=0}
 \end{aligned} \right.
 \end{aligned}$$

dus geen uitdrukt over rec.

$$(b) = \frac{1}{-1} \begin{pmatrix} 1 & 0 \\ 0 & -1 \end{pmatrix} = \begin{pmatrix} -1 & 0 \\ 0 & 1 \end{pmatrix}$$

(b) = (K) → de vierpool is reciprook en symmetrisch.

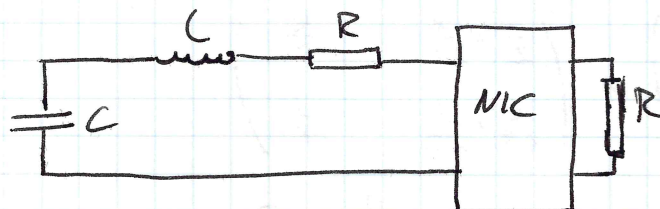
Z_{in} , belast bepalen:

$$\begin{pmatrix} -1 & 0 \\ 0 & 1 \end{pmatrix} \begin{pmatrix} 1 & 0 \\ \frac{1}{Z} & 1 \end{pmatrix} = \begin{pmatrix} -1 & 0 \\ \frac{1}{Z} & 1 \end{pmatrix} \Rightarrow Z_{in} = \frac{-1}{\frac{1}{Z}} = \underline{\underline{-Z}}$$

neem $Z = RL \rightarrow Z_{in} = -RL \Rightarrow$ bron; actief netwerk

Dit is een Negative Impedantie Converter (NIC)

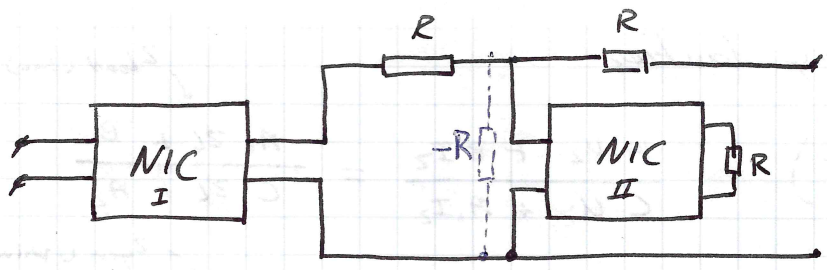
Toepassing



Stel: neem $Z = j\omega L \rightarrow Z_{in} = -j\omega L = \frac{1}{j\omega \frac{1}{2\omega L}}$

negatieve zelfinductie (capacitief)

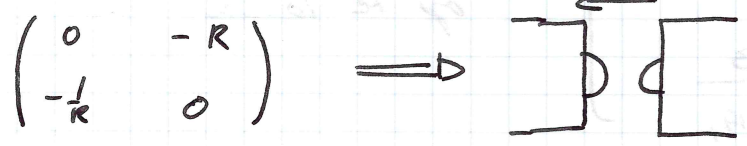
2b)



NIC II kan vervangen worden door de blauwe R

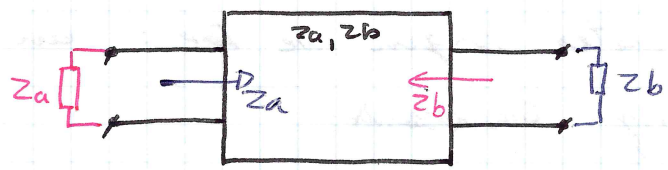
$$\begin{pmatrix} -1 & 0 \\ 0 & 1 \end{pmatrix} \begin{pmatrix} 1 & R \\ 0 & 1 \end{pmatrix} \begin{pmatrix} 1 & 0 \\ -\frac{1}{R} & 1 \end{pmatrix} \begin{pmatrix} 1 & R \\ 0 & 1 \end{pmatrix} =$$

$$\begin{pmatrix} -1 & -R \\ 0 & 1 \end{pmatrix} \begin{pmatrix} 1 & R \\ -\frac{1}{R} & 0 \end{pmatrix} =$$

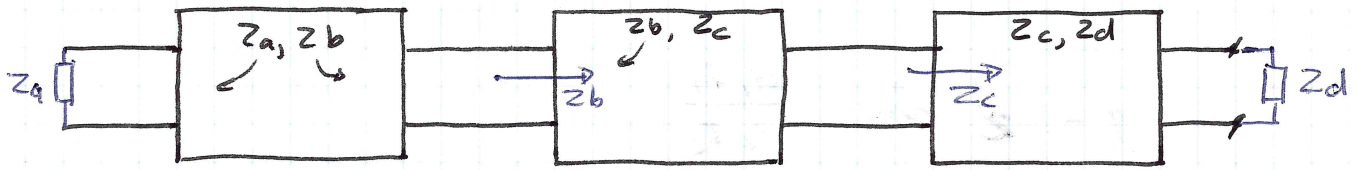


Spiegelbeeld parameters

Verpolen in de spiegelbeeldcascade; hierin is elke vierpool primair en secundair afgesloten met zijn spiegelbeeld-impedanties, Z_a en Z_b .



cascade :



Bepaling spiegelbeeldimpedanties

$$Z_{in} = \frac{U_1}{I_1} \text{ (conv II)} = \frac{A_1 U_2 + B I_2}{C U_2 + A_2 I_2} = \frac{A_1 Z_L + B}{C Z_L + A_2}$$

$$Z_{uit} = \frac{U_2}{I_2} \text{ (conv III)} = \frac{A_2 U_1 + B I_1}{C U_1 + A_1 I_1} = \frac{A_2 Z_g + B}{C Z_g + A_1}$$

Definitie toepassen:

$$Z_a = \frac{A_1 Z_b + B}{C Z_b + A_2}$$

$$Z_b = \frac{A_2 Z_a + B}{C Z_a + A_1}$$

Hieruit Z_a en Z_b
op te lossen

Res: $Z_a = \sqrt{\frac{A_1 B}{A_2 C}}$

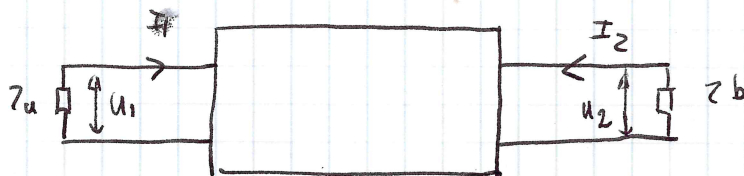
$$Z_b = \sqrt{\frac{A_2 B}{A_1 C}}$$

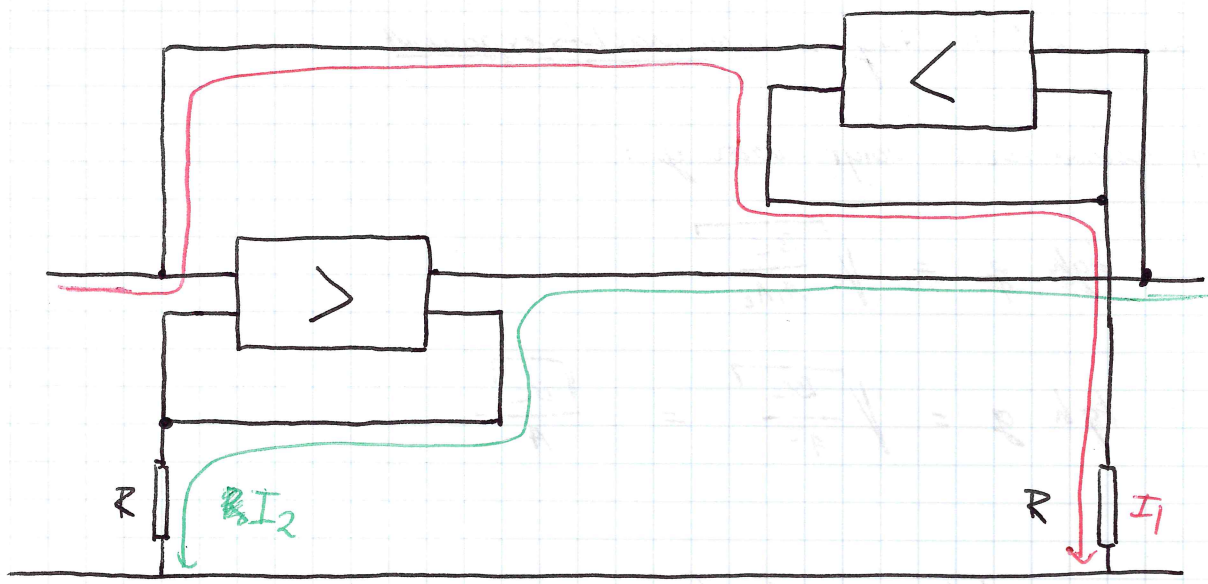
By de symmetrische vierpool $\rightarrow Z_a = Z_b = Z_0$, var imp
met $Z_0 = \sqrt{\frac{B}{C}}$

Als aanvullende parameter voegen we toe: een overdracht bij correcte afsluiting. Overdracht

3^e parameter is een overdracht bij spiegelbeeld afsluiting

$$g = \frac{1}{2} \ln \frac{U_1 I_1}{U_2 I_2}$$





$$\left. \begin{aligned} u_1 &= RI_2 \\ u_2 &= RI_1 \end{aligned} \right\} (K_{gy} = \begin{pmatrix} 0 & -R \\ \frac{1}{R} & 0 \end{pmatrix})$$

belasten : $\begin{pmatrix} 0 & -R \\ \frac{1}{R} & 0 \end{pmatrix} \begin{pmatrix} 1 & 0 \\ \frac{1}{Z} & 0 \end{pmatrix} = \begin{pmatrix} -\frac{R}{Z} & - \\ \frac{1}{R} & - \end{pmatrix}$

$$Z_{in} = \frac{-\frac{R}{Z}}{\frac{1}{R}} = -R^2 Y$$

neem $Z = R_L \rightarrow Z_{in} = -\frac{R^2}{R_L} \rightarrow$ negatieve R (actief netwerk)

Negatieve Impedantie Inverter (NII)

Indien de vierpool symmetrisch is :

$$g = \frac{1}{Z} \ln \frac{u_1}{u_2} \cdot \frac{u_1/z_a}{u_2/z_b} = \ln \frac{u_1}{u_2} + \frac{1}{Z} \ln \frac{z_b}{z_a}$$

indien $z_b = z_a$: $g = \ln \frac{u_1}{u_2}$

opm.: keuze van g maakt deze parameter onafhankelijk van de zendrichting. Overdrachts-exponent

Na enig rekenwerk volgt voor g :

$$\operatorname{tgh} g = \sqrt{\frac{BC}{A_1 A_2}}$$

Sym Vierpool: $\operatorname{tgh} g = \sqrt{\frac{BC}{A^2}} = \frac{\sqrt{BC}}{A}$

Bovendien volgt voor de k -matrix:

$$(k) = \begin{pmatrix} \sqrt{\frac{z_a}{z_b}} \cosh g & \sqrt{z_a z_b} \sinh g \\ \frac{1}{\sqrt{z_a z_b}} \sinh g & \sqrt{\frac{z_b}{z_a}} \cosh g \end{pmatrix}$$

symmetrisch ($z_a = z_b = z_0$)

$$(k) = \begin{pmatrix} \cosh g & z_0 \sinh g \\ \frac{1}{z_0} \sinh g & \cosh g \end{pmatrix}$$

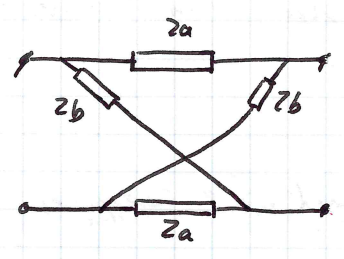
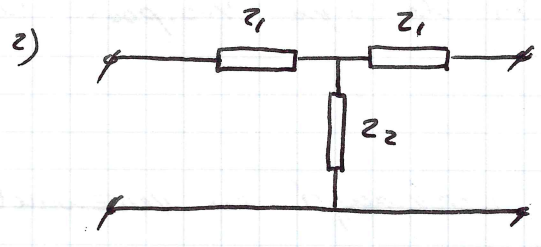
met $|k| = 1$

Opgave: Ga na dat voor de symmetrische vierpool geldt dat: $z_0 = \sqrt{z_k \cdot z_n}$

$z_k = \text{hoetstluntimp.}$

$z_n = \text{nullastimp.}$

en $\operatorname{tgh} g = \sqrt{\frac{z_k}{z_n}}$



Gegeven

Bepaal Z_1 en Z_2 bij gegeven Z_a en Z_b zodat

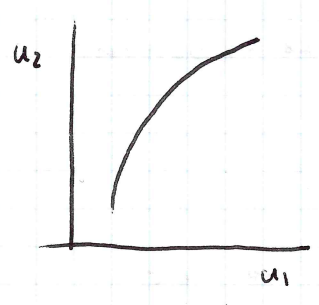
① en ② equivalent zijn en omgekeerd.

Zijn de equivalenten ook altijd te realiseren met R, L, C en T_r

Vervorming in vierpolen

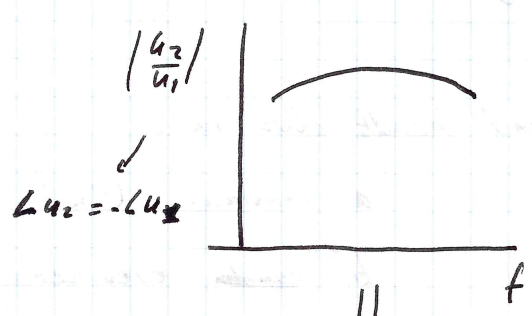
niet-Lin vervorming

niet-Lin VP
enkelv. harmonisch



Lin-vervorming

Lin-en nietLin-VP
samengesteld. (blijft ofzo)



⇓
amplitude vervorming
phase of looptijd vervorming

We bekijken nu Lin vervorming in de sym vierpool wat nader:

Onvervormd wil zeggen alleen vertraagd en verzwakt.

$$u(t) \longrightarrow k \cdot u(t-\tau) \quad (k \text{ en } \tau \text{ freq. onafh. const.})$$

in frequentie domein

~~$U(j\omega)$~~

$$\bar{u}(j\omega) \longrightarrow k \bar{u}(j\omega) \cdot e^{-j\omega\tau}$$

$$\text{overdracht} = k \cdot e^{-j\omega\tau} = \frac{u_2}{u_1}$$

$$g = \ln \frac{u_1}{u_2} = \ln \frac{1}{k} \cdot e^{j\omega\tau}$$

$$= \ln \frac{1}{k} + j\omega\tau$$

We schrijven: $g = a + jb$

$a =$ dempingsexponent

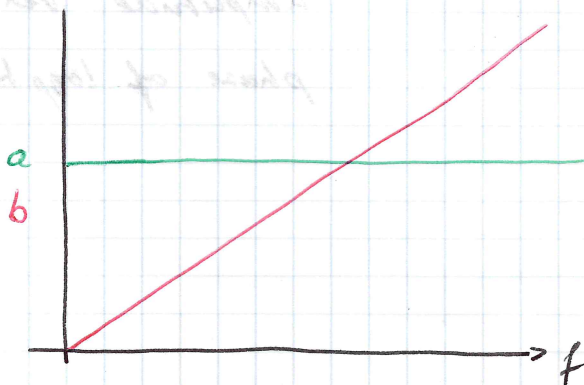
$b =$ fase exponent

Onvervormd houdt dus in:

a constant ($1/k$)

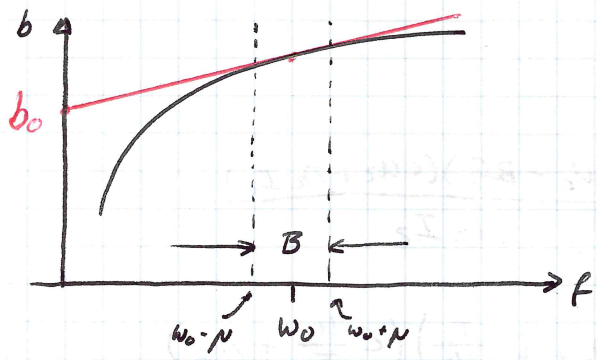
b ~~const.~~ evenredig met $\omega \rightarrow \omega\tau$

$\tau = \frac{b}{\omega}$ de fase looptijd $t_f \rightarrow$ constant



Nu kijken we naar een relatief smalbandig signaal op de vierpool met looptijd vervorming.

Stel $a = 0$



Nemen we aan: binnen de band mag fase karakteristiek benaderd worden door raaklijn in w_0

fase-karakteristiek : $b_0 + \left[\frac{db(w)}{dw} \right]_{w_0} \cdot w$

Kiezen we nu een AM-signaal :

$$u_1 = u (1 + m \cdot \cos \mu t) \cos w_0 t$$

$$u_1 = u \cos w_0 t + \frac{um}{2} \cos (w_0 + \mu)t + \frac{um}{2} \cos (w_0 - \mu)t$$

Nu uitgang:

$$u_2 = u \cos \left(w_0 t - b_0 - \left[\frac{db(w)}{dw} \right]_{w_0} \cdot w_0 \right) + \frac{um}{2} \cos \left\{ (w_0 + \mu)t - b_0 - \left[\frac{db(w)}{dw} \right]_{w_0} (w_0 + \mu) \right\} + \frac{um}{2} \cos \left\{ (w_0 - \mu)t - b_0 - \left[\frac{db(w)}{dw} \right]_{w_0} (w_0 - \mu) \right\}$$

$$\frac{db(w)}{dw} \Rightarrow \tau$$

$$u_2 = u \cos \left\{ w_0 \left(t - \frac{b_0}{w_0} - \tau \right) \right\} + um \cdot \cos \left\{ w_0 \left(t - \frac{b_0}{w_0} - \tau \right) \right\} \cdot \cos \left\{ \mu (t - \tau) \right\}$$

$$u_2 = u \left[1 + m \cos N(t - \tau) \right] \cos w_0 \left(t - \frac{b_0}{w_0} - \tau \right)$$

Draag golf verhoogd over $\frac{b_0}{w_0} + \tau$
vertraagd over τ

$$\tanh g = \sqrt{\frac{BC}{A_1 A_2}}$$

$$\begin{aligned} g &= \frac{1}{2} \ln \frac{U_1 I_1}{U_2 I_2} = \frac{1}{2} \ln \frac{(A U_2 + B I_2)(C U_2 + A_2 I_2)}{U_2 I_2} \\ &= \frac{1}{2} \ln \left(A_1 + B \frac{I_2}{U_2} \right) \left(C \frac{U_2}{I_2} + A_2 \right) \\ &= \frac{1}{2} \ln \left(A_1 + B \sqrt{\frac{A_1 C}{A_2 B}} \right) \left(C \sqrt{\frac{A_2 B}{A_1 C}} + A_2 \right) \\ &= \frac{1}{2} \ln \left(A_1 A_2 + BC + 2 \sqrt{A_1 A_2 C B} \right) \\ &= \ln \left(\sqrt{A_1 A_2} + \sqrt{BC} \right) \end{aligned}$$

$$\begin{aligned} e^g &= \sqrt{A_1 A_2} + \sqrt{BC} \\ e^{2g} - 2e^g \sqrt{A_1 A_2} + A_1 A_2 &= BC \end{aligned}$$

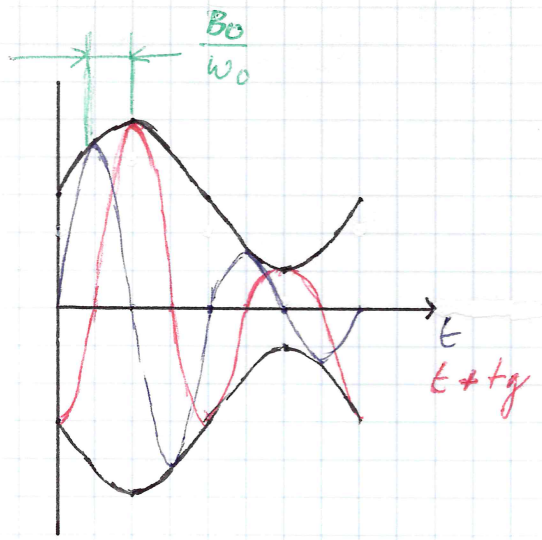
$$e^{2g} - 2e^g \sqrt{A_1 A_2} + 1 = 0$$

$$\sqrt{A_1 A_2} = \frac{e^{2g} + 1}{2e^g} = \frac{e^g + e^{-g}}{2} = \cosh g$$

evenzo $\sqrt{BC} = \sinh g$

dus $\tanh g = \frac{\sinh g}{\cosh g} = \sqrt{\frac{BC}{A_1 A_2}}$

Illustratie



$U_{uit}(t)$

$U_{uit}(t + t_g)$

We constateren inderdaad vervorming; detectie van l.f - signaal met standaard middelen blijft echter mogelijk (als $\omega_0 \gg \mu$).

De kwaliteit van de transmissie wordt dus bepaald door de ~~lineariteit~~ van de fase karakteristiek in de band, of wel de constandheid van t_g

Opm; deze beschouwing geldt ook voor F_m en F_m
